油料蛋白

DOI: 10. 19902/j. cnki. zgyz. 1003 - 7969. 240419

超高压联合酶解对大豆球蛋白抗原性 和结构特性的影响

赵青青, 李梦瑶, 布冠好, 汪 眸, 谢一敬

(河南工业大学 粮油食品学院,郑州 450001)

摘要:旨在为开发低敏性大豆蛋白产品提供理论基础,以大豆中主要致敏蛋白大豆球蛋白(11S)为原料,采用不同超高压(100~600 MPa)预处理后用复合蛋白酶水解,对其抗原性、水解度、十二烷基硫酸钠-聚丙烯酰胺凝胶电泳(SDS-PAGE)、Tricine-SDS-PAGE、傅里叶变换红外光谱(FT-IR)、紫外光谱、荧光光谱进行分析,探究处理前后 11S 抗原性及结构的变化规律。结果表明:超高压联合酶解处理对 11S 的抗原抑制率和水解度均有影响,其中 600 MPa 超高压联合酶解处理 11S 的抗原抑制率最低,水解度最高,分别为 36.69% 和 8.98%;600 MPa 超高压联合酶解处理对 11S 结构的影响最大,11S 中酸、碱性亚基明显被降解,11S 二级结构中 α - 螺旋含量显著升高,β - 折叠含量显著降低,11S 三级结构发生明显变化,紫外最大吸收强度和荧光强度均显著降低,并伴随紫外光谱蓝移,荧光光谱红移。综上,超高压联合酶解处理能够改变 11S 的构象,进而显著降低其抗原性。

关键词:大豆球蛋白;超高压联合酶解;抗原性;结构特性

中图分类号:TS229;TS201.4

文献标识码:A

文章编号:1003-7969(2025)09-0075-08

Effects of high hydrostatic pressure combined with enzymatic hydrolysis on the antigenicity and structural properties of glycinin

ZHAO Qingqing, LI Mengyao, BU Guanhao, WANG Yang, XIE Yijing (College of Food Science and Engineering, Henan University of Technology, Zhengzhou 450001, China) Abstract: To provide a theoretical basis for the development of hypoallergenic soybean protein products, glycinin (11S), the major allergenic protein in soybeans, was used as the raw material, and it was pretreated with different high hydrostatic pressure (HHP) levels (100 – 600 MPa) and subsequently hydrolyzed using a compound protease. The antigenicity, degree of hydrolysis, SDS – PAGE, Tricine – SDS – PAGE, FT – IR, UV spectroscopy, and fluorescence spectroscopy were analyzed to investigate the changes in antigenicity and structural characteristics of 11S before and after treatment. The results showed that HHP combined with enzymatic hydrolysis affected the antigenicity and degree of hydrolysis of 11S.

收稿日期:2024-07-02;修回日期:2025-05-20

基金项目:河南省自然科学基金面上项目(242300421317);国家自然科学基金项目(32472289,31871748);河南省高等学校青年骨干教师培养计划(2019GGJS084);河南工业大学青年骨干教师培育计划(21420064);河南工业大学国家自然基金培育项目支持计划(2024PYJH003);郑州市科技协同创新专项(21ZZXTCX17);中国博士后科学基金面上项目(2021M701112);河南工业大学创新基金支持计划专项资助(2021ZKCJ03)作者简介:赵青青(2000),女,在读硕士,研究方向为蛋白质资源开发及利用(E-mail)z18737351720@163.com。

通信作者: 布 冠 好, 教 授, 博 士 (E-mail) buguanhao2008 @ 126. com。

The treatment of 600 MPa HHP combined with enzymatic hydrolysis resulted in the lowest antigen inhibition rate and the highest degree of hydrolysis of 11S at 36.69% and 8.98%, respectively. The combined treatment at 600 MPa had the most significant impact on the structure of 11S, and the acidic and basic subunits of 11S significantly degraded, the α – helix content in the secondary structure increased markedly, while the β – sheet content decreased significantly under the condition. Moreover, the tertiary structure of 11S underwent

notable changes, with significant reductions in UV maximum absorption intensity and fluorescence intensity, accompanied by a blue shift in the UV spectrum and a red shift in the fluorescence spectrum. In conclusion, HHP combined with enzymatic hydrolysis can alter the conformation of 11S, thereby significantly reducing its antigenicity.

Key words: glycinin; high hydrostatic pressure combined with enzymatic hydrolysis; antigenicity; structural property

大豆是常见的优质植物蛋白质来源,同时也是公认的主要食物过敏原之一^[1]。据报道,全球约2.7%的儿童和0.27%的成年人对大豆过敏^[2],其中大豆球蛋白(11S)是大豆中存在的关键致敏蛋白之一,占大豆总蛋白质含量的40%左右^[3]。11S是由5种不同类型亚基组成的六聚体蛋白,每个亚基由酸性肽链(A)和碱性肽链(B)组成,引起患者过敏反应的主要是酸性链(A1a、A1b、A2、A3、A4)^[4]。11S结构非常稳定,在自然状态下不易被破坏^[5],因此选择性加工处理是降低其致敏性的有效途径。

目前常见的降低大豆致敏性的技术可分为热处 理法、非热处理法、化学法和生物法。其中,非热处 理技术在降低大豆蛋白抗原性方面显示出巨大的潜 力,例如超高压处理、低温等离子体和超声波处理 等[6]。超高压处理是常用的绿色非热处理技术,可 以破坏蛋白质分子中的非共价键,导致其结构发生 重大变化^[7]。赵益菲等^[8]研究表明,11S 经 500 MPa 超高压处理 20 min 后其抗原性降低了 35.65%, 空 间结构发生显著变化。李堂昊等[9]研究表明,400 MPa 超高压处理可最大程度上降低 β-伴大豆球蛋 白的免疫活性,从而削弱其抗原性并降低致敏风险。 超高压处理虽然不能完全消除蛋白的致敏性,但能 够改变蛋白质的构象型表位,增加蛋白酶的作用位 点,有效促进蛋白质的水解,从而降低免疫球蛋白 E (IgE)结合能力,最终实现抗原性和致敏性的双重 降低[10]。此外,化学法中的酶解处理也常被用于改 变蛋白质结构和功能性质,其可以破坏蛋白质分子 内部的一些肽键,部分或完全消除连续抗原表位,有 效降低抗原性[11],从而显著降低抗原的致敏性。然 而研究表明,即使经过长时间的酶解,蛋白的抗原性 也不能被完全消除且会产生更多苦味肽[12-13]。因 此,有学者采用酶解与其他方法联合处理的方式来 降低蛋白的抗原性,以期降低其潜在的致敏性。目 前已有研究将超高压联合酶解技术用于处理食物过 敏原的研究中。Lee 等[14] 研究发现, 荞麦蛋白经 600 MPa 超高压处理 30 min 后再用碱性蛋白酶水 解,其 IgE 结合率降低了 83.8% ~100%。江连洲等^[15]研究发现,超高压协同限制性酶解处理可显著降低豆乳粉的致敏性,在最优工艺条件下致敏性降低率为 88.09%。Meinlschmidt等^[16]利用超高压(400 MPa 和 500 MPa)协同风味蛋白酶处理大豆分离蛋白,采用间接竞争酶联免疫吸附(ic - ELISA)法检测β-伴大豆球蛋白的免疫活性,结果发现,一组抗体识别的表位在水解过程中被充分破坏,抗原性几乎被完全抑制,而另一组抗体识别的表位仅略有下降。目前关于超高压联合酶解处理对 11S 抗原性和结构的影响尚不清楚。

本文利用超高压对 11S 进行预处理,随后用复合蛋白酶进行水解,考察超高压联合酶解对 11S 抗原性、水解度及结构特性的影响,探究超高压联合酶解对 11S 影响的作用机制,以期为大豆蛋白过敏原脱敏技术的研究提供参考。

1 材料与方法

1.1 实验材料

1.1.1 原料与试剂

低温脱脂豆粕(蛋白质含量 42.72%、水分含量 7.41%、脂肪含量 1.45%、灰分含量 5.61%),山东 禹王生态食品有限公司; HRP - 标记的羊抗兔 IgG (A6154),美国 Sigma 公司; 牛血清蛋白(BSA)、3、3′、5、5′-四甲基联苯胺(TMB)显色液、凝胶电泳试剂盒,北京索莱宝科技有限公司; 复合蛋白酶(120 U/mg)、8 - 苯胺基 -1 - 萘磺酸(ANS),上海源叶生物科技有限公司;其他试剂均为分析纯。

1.1.2 仪器与设备

HPP. L2 - 600/10 型超高压设备,天津华泰森森生物有限公司; LRH - 150F 型恒温生化培养箱,上海一恒科技有限公司; TDL - 5A 型离心机,上海安亭科学仪器厂; DYY - 6D 型电泳仪,北京六一仪器厂; Multiskan FC 型酶标仪,美国赛默飞世尔仪器有限公司; TU - 1901 型紫外可见分光光度计,北京普析通用仪器有限责任公司; Cary Eclipse 荧光分光光度计,美国 Varian 公司; WQF - 510 傅里叶变换红外光谱仪,北京瑞丽分析仪器有限公司; K1100 型凯

氏定氮仪,济南海能仪器有限公司。

1.2 实验方法

1.2.1 11S 的制备

参考彭开锋等^[17]的方法,并稍作修改。将脱脂豆粕与0.03 mol/L Tris - HCl 缓冲液(pH 8.0)按料液比1:15 混合,于室温下搅拌4h,随后在4℃下以10 000 r/min 离心20 min,取上清液,按1g/L加入NaHSO₃,搅拌均匀,用2 mol/L HCl 溶液调整 pH 至6.4,于4℃下保存过夜,然后以10 000 r/min 离心20 min,取沉淀并溶于0.01 mol/L 磷酸盐缓冲液(PBS,pH 7.4)中,分别采用50%、65% 硫酸铵对溶液进行分级沉淀,将沉淀透析、冻干后得11S,于-18℃保存备用。经凯氏定氮法测得11S中蛋白质含量为92.79%,BandScan 软件分析11S的十二烷基硫酸钠-聚丙烯酰胺凝胶电泳(SDS-PAGE)图谱发现11S 样品的纯度为97.20%,可用于后续实验分析。

1.2.2 超高压联合酶解处理 11S

1.2.3 抗原性测定

参照 Fu 等^[18]的方法,采用间接竞争酶联免疫吸附法(ic - ELISA)测定 11S 的抗原性。用 50 mmol/L 碳酸盐缓冲液(pH 9.6)将 11S 样品稀释至 0.4 μg/mL 后包被于 96 孔酶标板(100 μL/孔),于 4℃下过夜。同时,另取 11S 样品用 PBS 稀释至 0.1 mg/mL,然后与效价为 1:25 600 的兔抗 11S 血清等体积混合,于 4℃下过夜,得预混液。取出孵育过夜的酶标板,弃液,用含有 0.05% 吐温 - 20 的 PBS (PBST)洗涤后于 37℃下使用 1% BSA 封闭 2 h。 PBST 洗涤,加入预混液(100 μL/孔),同时设置无竞争体系(只加血清),37℃孵育 1 h。PBS 重复洗涤 3 次后加入 HRP 标记的效价为 1:20 000 的酶标二抗(100 μL/孔),37℃反应 1 h,PBS 洗涤后加入 TMB 显色液(100 μL/孔),避光反应 10 min。最后,

加人 2 mol/L 稀硫酸 (50 μ L/孔) 终止反应。用酶标仪分别在 450 nm 和 620 nm 处测得样品吸光度。样品抗原性以抗原抑制率表示,抗原抑制率与抗原性成正比,抗原抑制率(Y) 计算公式如式(1) 所示。

$$Y = [1 - (A_{450} - A_{620})/A_0] \times 100\%$$
 (1)

式中: A_{450} 为样品在 450 nm 处的吸光度; A_{620} 为样品在 620 nm 处的吸光度; A_0 为无竞争体系在 450 nm 处的吸光度与其在 620 nm 处的吸光度的差值。

1.2.4 水解度测定

参考 Xiong 等^[19] 的方法,采用邻苯二甲醛 (OPA)法对11S 酶解液进行水解度测定。将0.1 g 十二烷基硫酸钠(SDS)、3.8 g 硼砂、80 mg OPA(纯度97%)、88 mg 二硫苏糖醇(纯度99%)溶解于蒸馏水中,加入4 mL 乙醇,并用蒸馏水定容至100 mL,制得 OPA 溶液。取800 μ L 11S 酶解液与6 mL OPA 溶液混合,旋涡5 s,避光反应2 min,使用紫外可见分光光度计测定其在340 nm 处的吸光度 (OD₃₄₀)。以丝氨酸为标准品,配制系列浓度(0、0.2379、0.4758、0.7137、0.9516 mmol/L)标准溶液,于340 nm 处测定吸光度,以丝氨酸浓度(x)为横坐标,吸光度(y)为纵坐标,绘制标准曲线,拟合得标准曲线方程y=0.7608x-0.0022(R^2 =0.9999)。水解度(D)计算公式如式(2)所示。

 $D = (C \times N \times V/m - \beta)/(\alpha \times h_{tot}) \times 100\%$ (2) 式中:C 为样品吸光度代入标准曲线方程所得的浓度,mmol/L;N 为酶解液稀释倍数;V 为样品体积,L;m 为通过考马斯亮蓝法测得的样品中蛋白质的质量,g; h_{tot} 为大豆蛋白总肽键数,取7.8 mmol/g; α 和 β 为经验校正系数,用于修正测定中氨基含量与吸光度之间的差异,分别取常数0.970和0.342。1.2.5 SDS – PAGE 和 Tricine – SDS – PAGE 分析

SDS - PAGE 分析: 参照 Yu 等^[20] 的方法并稍作 修改。用样品缓冲液将样品稀释至蛋白质质量浓度 为 1 mg/mL, 沸水浴 5 min 后离心, 取上清液进行 SDS - PAGE 分析, 电泳时使用分子质量 10~180 kDa 蛋白质标准品作为对照。分析条件: 上样量 10 μL/孔; 12%的分离胶和 5%的浓缩胶; 恒流电泳时浓缩胶电流 20 mA, 分离胶电流 40 mA。电泳完毕后, 凝胶固定 30 min, 染色 40 min, 脱色后拍照分析。

Tricine - SDS - PAGE 分析: 参考 Mei 等^[21]方法并稍作修改分析样品中分子质量 10 kDa 以下的小分子肽分布。将样品与还原性样品缓冲液混合,在 100℃下煮沸 5 min, 离心取上清液, 待 Tricine - SDS - PAGE 分析,使用分子质量 3.3~31 kDa 的蛋

白质标准品作为对照。分析条件:分离胶 16.5%, 夹层胶 10%,浓缩胶 4%;上样量 10 μL/孔;分析时间 6~8 h;恒流电泳时浓缩胶及夹层胶电流 20 mA, 分离胶电流 40 mA。电泳结束后凝胶固定和染色各 30 min,在脱色液中脱色 24 h 后拍照分析。

1.2.6 傅里叶变换红外光谱(FT-IR)分析

参照 Wang 等^[22]的方法,将 2 mg 样品和 150 mg KBr 混合后研磨并压成薄片,待 FT – IR 测定。测定条件:扫描范围 4 000 ~ 400 cm⁻¹,扫描次数 64 次,分辨率 4 cm⁻¹。使用 Peak Fit 4.12 软件,通过基线校正、去卷积、二阶导数处理和高斯拟合计算样品蛋白质二级结构含量。

1.2.7 紫外光谱分析

利用 PBS 将样品稀释至蛋白质质量浓度为 1 mg/mL,进行紫外光谱扫描。分析条件:波长范围 200~400 nm,狭缝宽度 2 nm,波长间隔 1 nm。

1.2.8 荧光光谱分析

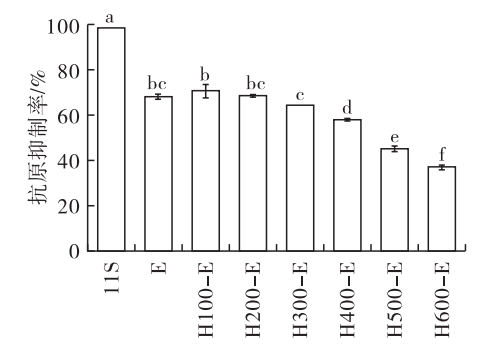
参考 Ye 等^[1]方法,将样品溶解于 PBS 中配制成质量浓度为 0.2 mg/mL 的样品蛋白溶液,取 4 mL蛋白溶液与 20 μL ANS 溶液(10 mmol/L)混匀后,采用荧光分光光度计采集样品荧光光谱。分析条件:激发波长 390 nm,发射波长400~700 nm,扫描速度 600 nm/min,狭缝宽度 5 nm。

1.2.9 数据处理

所有数据均水平测定 3 次,结果用"平均值 ±标准误差"表示。采用 BandScan 软件分析 SDS – PAGE 图谱,使用 IBM SPSS 25 和 Origin 2023 软件对数据进行统计分析和作图。

2 结果与分析

2.1 超高压联合酶解对11S 抗原性的影响 超高压联合酶解对11S 抗原性的影响见图1。



注:不同字母表示具有显著差异(p < 0.05)。下同 Note: Different letters indicate significant differences (p < 0.05). The same below

图 1 超高压联合酶解对 11S 抗原性的影响

Fig. 1 Effects of high hydrostatic pressure combined with enzymatic hydrolysis on the antigenicity of 11S

由图 1 可知,与未处理 11S 相比,单一酶解处理 以及超高压联合酶解处理的 11S 抗原性均显著降 低。单一酶解时,11S的抗原抑制率相比未处理11S 仅降低了30.31百分点,这可能是由于11S中的线 性表位相对稳定,不易被酶水解。超高压联合酶解 处理时, 当压力大于300 MPa 后,11S 抗原性随着压 力的升高显著降低,尤其是600 MPa 时,其抗原抑制 率降至最低,为36.69%,相比未处理和单一酶解处 理分别降低了61.66百分点和31.35百分点。这与 Meinlschmidt等[16]的研究结果趋势一致,其报道了 在 300 MPa 以上超高压联合酶解处理下,大豆蛋白 抗原性呈现明显的下降趋势。这可能是因为当压力 超过300 MPa 时,超高压通过破坏疏水作用和静电 相互作用引起 11S 结构变化, 肽链得到伸展, 紧密结 构变得松散,使抗原表位易于受到蛋白酶的影响,更 多的抗原表位被酶解作用破坏或掩埋,从而有效降 低了11S的抗原性。

2.2 超高压联合酶解对 11S 水解度的影响

水解度是衡量 11S 酶解程度的重要指标。超高 压联合酶解对 11S 水解度的影响见图 2。

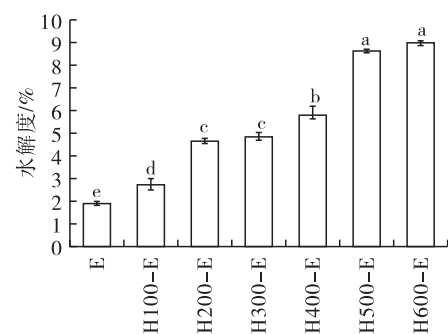


图 2 超高压联合酶解对 118 水解度的影响

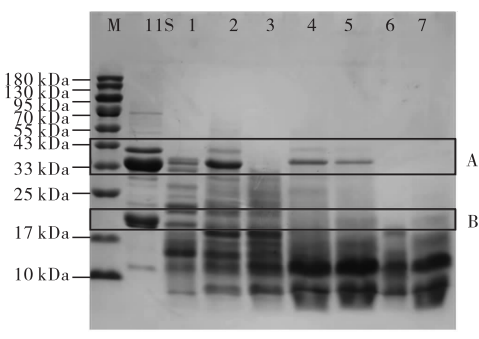
Fig. 2 Effects of high hydrostatic pressure combined with enzymatic hydrolysis on the degree of hydrolysis of 11S

由图 2 可知,相比单一酶解处理,超高压联合酶解处理显著提高了 11S 的水解度,当压力为 600 MPa 时 11S 的水解度达到最大,为 8.98%,说明超高压联合酶解有效提高了 11S 的水解效率。Lee 等^[14]研究表明,超高压可以改变蛋白质结构,导致蛋白酶的水解位点增加,进而水解度升高,最终降低蛋白质的抗原性。但水解度并不是越高越好,水解度过高时会产生苦味肽,影响产品风味,因此需要根据实际情况来监测水解程度,在保证蛋白产品品质的同时降低其抗原性。

2.3 超高压联合酶解对 11S 分子质量分布的影响

通过 SDS - PAGE 图谱可以观察不同处理后 11S 亚基的变化。经 SDS 和 β - 巯基乙醇处理后, 11S 及其酶解物的二级和三级结构被改变,分子间

和分子内的二硫键被破坏,11S 及其酶解物的电泳 迁移率仅受分子质量的影响^[23]。不同处理下 11S 样品的 SDS – PAGE 图谱见图 3。



注:M. 标准蛋白;1. E;2. H100 - E;3. H200 - E;4. H300 - E;5. H400 - E;6. H500 - E;7. H600 - E;A. 酸性亚基;B. 碱性亚基。下同

Note: M. Marker; 1. E; 2. H100 - E; 3. H200 - E; 4. H300 - E; 5. H400 - E; 6. H500 - E; 7. H600 - E; A. Acidic subunit; B. Basic subunit. The same below

图 3 不同处理下 11S 的 SDS – PAGE 图谱

Fig. 3 SDS - PAGE profiles of 11S under different treatments

由图 3 可知,与未处理的 11S 相比,单一酶解和超高压联合酶解处理后 11S 的酸、碱性亚基均发生了不同程度的降解,且随着压力的升高其降解程度不断增加。尤其是经 500、600 MPa 超高压联合酶解处理后,11S 的酸、碱性亚基的条带几乎完全消失,且在分子质量小于 10 kDa 处出现了明显条带,说明超高压处理有效诱导了 11S 的酶解。

由于 SDS - PAGE 不能准确显示酶解后小分子 肽的分布,因此采用 Tricine - SDS - PAGE 对超高压 联合酶解处理后的 11S 进行进一步分析,结果如图 4 所示。

由图4可知,所有11S酶解物均形成了6.5 kDa 左右的小分子亚基和多肽,但没有出现3.3 kDa以 下的小分子肽,表明 11S 被部分水解^[24]。

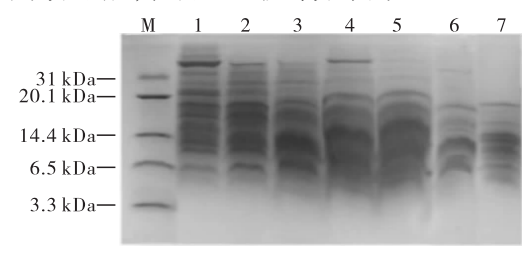


图 4 不同处理下 11S 的 Tricine – SDS – PAGE 图谱 Fig. 4 Tricine – SDS – PAGE profiles of 11S under different treatments

2.4 超高压联合酶解对11S二级结构的影响

上述抗原性、水解度和电泳结果表明,600 MPa 超高压联合酶解处理在结构破坏与降敏效果方面最为显著,具有代表性。因此,选取了未处理 11S、单一酶解处理 11S、600 MPa 超高压及其联合酶解处理 11S 进行 FT - IR 分析,结果见图 5。

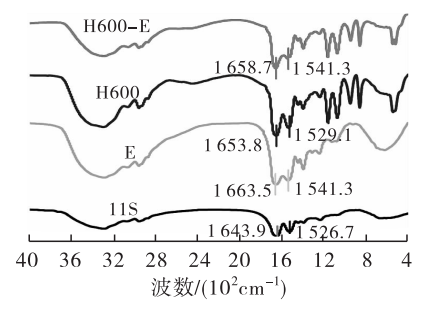


图 5 不同处理下 11S 的 FT - IR 图谱

Fig. 5 FT – IR spectra of 11S under different treatments

由图 5 可知,不同样品在酰胺 I 区(1 700~1 600 cm⁻¹)的特征吸收峰有所区别,表明不同处理 11S 蛋白质结构发生了变化,反映了蛋白质中二级结构相对含量的变化。不同处理下 11S 二级结构相对含量见表 1。

%

表 1 不同处理下 11S 二级结构相对含量

 Table 1
 Relative content of secondary structures in 11S under different treatments

| 样品 | α – 螺旋 | β-折叠 | β-转角 | 无规卷曲 |
|----------|--------------------------|--------------------------|--------------------------|--------------------------|
| 11S | $22.14 \pm 0.10^{\circ}$ | 35.34 ± 0.06^{a} | $15.49 \pm 0.03^{\circ}$ | 27.03 ± 0.24^{a} |
| H600 | 18.74 ± 0.02^{d} | $15.73 \pm 0.10^{\rm b}$ | 47.56 ± 0.37^{a} | 17.97 ± 0.15^{d} |
| E | 28.60 ± 0.15^{b} | $13.62 \pm 0.16^{\circ}$ | 33.57 ± 0.09^{b} | $24.21 \pm 0.02^{\circ}$ |
| H600 – E | 31.56 ± 0.02^{a} | 10.41 ± 0.07^{d} | $33.35 \pm 0.33^{\rm b}$ | 24.68 ± 0.03 b |

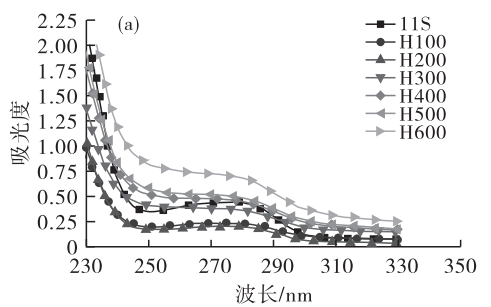
注:同列不同字母表示具有显著差异(p<0.05)

Note: Different letters in the same column indicate significant differences (p < 0.05)

由表 1 可知,未处理的 11S 中 α - 螺旋、 β - 折叠、 β - 转角、无规卷曲的含量分别为(22. 14 ± 0.10)%、(35. 34 ± 0.06)%、(15. 49 ± 0.03)%、(27.03 ± 0.24)%,表明 β - 折叠是 11S 的主要构型。这与 Xi 等[25]的研究结果一致,其研究中 β - 折

叠的相对含量为(49.98 ± 0.22)%,同样为 11S 二级结构的主要类型。相比未处理 11S,经 600 MPa 超高压处理的 11S 中 α -螺旋、 β -折叠和无规卷曲含量显著降低, β -转角含量显著增加。通常,蛋白质的 β -折叠结构是由肽链间的氢键支撑^[26], α -

螺旋位于多肽链内部,是紧密结合的空间结构, β -折叠和 α -螺旋含量的降低说明超高压处理打乱了 11S 有序的折叠结构,蛋白质构象变得更为伸展,肽链的排列更加无序。而相对于单一的超高压处理,600 MPa 超高压联合酶解处理的 11S 中 α -螺旋和无规卷曲含量显著升高, β -折叠含量显著降低,表明 11S 构象整体由有序向无序转变,空间结构发生重构,有助于抗原位点的暴露与降解,从而降低蛋白致敏性。类似地,李玉蝶等 [27] 报道,经戊糖乳杆菌发酵处理后,花生蛋白中 β -折叠减少,并向 α -螺旋及无则卷曲等结构转化。这可能是由于在酶解过程中维系蛋白质二级结构稳定性的氢键被破坏,导



致多肽链解折叠,并伴随着一定程度的聚集^[28]。由于 11S 的抗原表位多位于 β – 折叠和无规卷曲结构处^[29],经超高压联合酶解处理后 11S 的 β – 折叠和无规卷曲含量显著降低,推测超高压联合酶解处理破坏或掩埋了 11S 的抗原表位,进而有效降低了11S 的抗原性。

2.5 紫外光谱分析

蛋白质中存在芳香氨基酸,如色氨酸、酪氨酸和苯丙氨酸,可以吸收 185~320 nm 范围内的紫外光。因此,当蛋白质被修饰时,紫外吸收光谱会有效反映出蛋白质三级结构的变化。超高压处理和超高压联合酶解处理下 11S 的紫外光谱图见图 6。

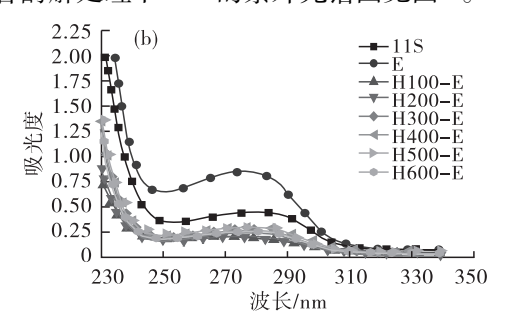


图 6 超高压处理和超高压联合酶解处理下 11S 的紫外光谱图 Fig. 6 UV spectra of 11S under high hydrostatic pressure and high hydrostatic

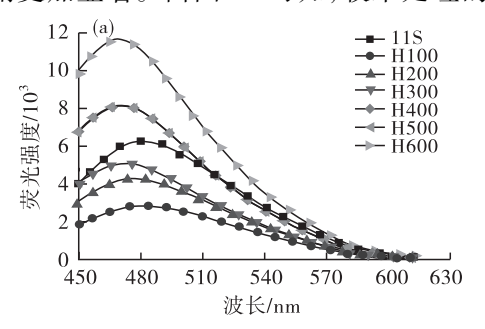
pressure combined with enzymatic hydrolysis treatments

由图 6a 可知,单一超高压处理的 11S 在约 277 nm 处均表现出特征吸收峰。在压力 100~300 MPa 范围内,单一超高压处理 11S 的紫外最大吸收峰吸光度相较于未处理 11S 的显著降低,这可能是由于较低压力下蛋白质发生了部分构象紧缩或分子间轻度聚集,导致芳香族残基进一步埋藏于疏水核心区域,从而降低了其对紫外光的吸收。随着压力升高至 400 MPa 以上,单独超高压处理 11S 的吸光度随着压力的升高而增大,说明此时高压已足以破坏蛋白质的紧密结构,促使内部芳香残基暴露,蛋白质构象发生显著变化,表明超高压在较高压力下对 11S 的解构作用更加显著。由图 6b 可知,较未处理的

11S,单一酶解处理 11S 的吸光度显著升高,说明酶解处理打开了 11S 的空间结构,更多的芳香氨基酸残基暴露于蛋白质表面^[30]。而经超高压联合酶解处理后,11S 的吸光度却降低了,且样品的吸收峰均发生了不同程度的蓝移,这可能是超高压处理改变了蛋白质结构,增加了酶的可及性,水解作用破坏或掩盖了超高压处理过程中暴露的发色基团,最终导致吸光度降低^[31]。

2.6 荧光光谱分析

通过荧光光谱可进一步表征 11S 的三级结构变化。超高压处理和超高压联合酶解处理下 11S 的荧光光谱图见图 7。



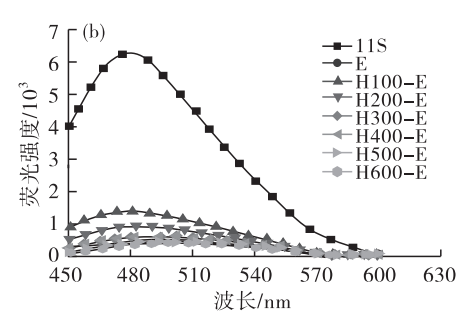


图 7 超高压处理和超高压联合酶解处理条件下 11S 的荧光光谱图

Fig. 7 Fluorescence spectra of 11S under high hydrostatic pressure and high hydrostatic combined with enzymatic hydrolysis treatments

蛋白质结构的改变会影响氨基酸微环境的极 性,导致最大发射波长(λ_{max})和荧光强度发生变化。 由图 7a 可知,相较干未处理 11S,单一超高压处理 11S 的 λ_{max} 均出现了蓝移(3~10 nm),表明蛋白质 结构发生了变化,暴露出更多的疏水性基团,其中 400、500、600 MPa 处理 11S 的荧光强度显著升高, 600 MPa 时最高,表明超高压处理有效诱导了蛋白 质结构展开,暴露出更多的色氨酸残基。由图7b可 知,相较于未处理11S,超高压联合酶解处理11S的 荧光强度显著下降,600 MPa 超高压联合酶解 11S 的 λ_{max} (496 nm) 相较于未处理 11S 的(479 nm) 发 生明显红移,这可能是由于超高压预处理增加了蛋 白酶的作用位点,进一步改变了11S构象,使其在非 极性微环境中埋藏的芳香族残基暴露于极性溶剂环 境中[32]。由此推测,11S 抗原性的降低可能是因为 在超高压处理过程中,11S的结构被打开,原本包埋 在内部的疏水性基团暴露,更利于蛋白酶作用于抗 原表位[33],经酶解后,这些表位无法被 IgG 抗体有 效识别,最终导致抗原性下降。

3 结 论

本研究考察了不同超高压联合复合蛋白酶处理对 11S 抗原性、水解度和结构的影响。结果表明,经300 MPa 以上压力预处理后再酶解可有效降低 11S 的抗原性,其中 600 MPa 超高压联合酶解处理 11S 的抗原性降低最为显著,且水解度达到最高,并有效降解了 11S 的酸、碱性亚基,同时 11S 的二级结构中β-折叠和无规卷曲的含量显著减少。紫外光谱和荧光光谱结果表明,超高压联合酶解处理 11S 的三级结构发生改变。综上,超高压联合酶解处理可通过改变 11S 的构象进而影响其抗原表位,从而有效降低其抗原性。

参考文献:

- [1] YE L, LÜ L, LIN X, et al. Effect of lipid peroxidation on the allergenicity and functional properties of soybean β – conglycinin (7S) and glycinin (11S) [J]. Food Sci Hum Wellness, 2023, 12(3): 895 – 902.
- [2] PI X, SUN Y, FU G, et al. Effect of processing on soybean allergens and their allergenicity [J]. Trends Food Sci Technol, 2021, 118: 316-327.
- [3] KANG Z L, YAO P L, XIE J J, et al. Effects of low frequency magnetic field on solubility, structural and functional properties of soy 11S globulin [J]. J Sci Food Agric, 2024, 104(10): 5944 – 5954.
- [4] SHUI T, FU Y, DUAN Y, et al. Localization of G1A1a allergenic domain destroyed by thermal processing [J]. J Agric Food Chem, 2024, 72(17): 9947-9954.

- [5] WANG L, SUN Z, XIE W, et al. 11S glycinin up regulated NLRP 3 induced pyroptosis by triggering reactive oxygen species in porcine intestinal epithelial cells [J/OL]. Front Vet Sci, 2022, 9: 890978 [2024 07 02]. https://doi.org/10.3389/fvets.2022.890978.
- [6] DONG X, WANG J, RAGHAVAN V. Critical reviews and recent advances of novel non – thermal processing techniques on the modification of food allergens [J]. Crit Rev Food Sci Nutr, 2021, 61(2): 196-210.
- [7] WANG J, HE Z, RAGHAVAN V. Soybean allergy: Characteristics, mechanisms, detection and its reduction through novel food processing techniques [J]. Crit Rev Food Sci Nutr, 2023, 63(23); 6182-6195.
- [8] 赵益菲, 布冠好, 陈复生. 超高压对大豆球蛋白抗原性及结构的影响[J]. 食品科学, 2018, 39(17): 92-97.
- [9] 李堂昊, 布冠好, 赵益菲, 等. 超高压处理对 β-伴大豆球蛋白抗原性及结构的影响[J]. 河南工业大学学报(自然科学版), 2020, 41(2): 1-7.
- [10] ZENGIN K, OZEL B, OZTOP M H, et al. Effects of high hydrostatic pressure on the functional properties of soy protein isolate [J/OL]. J Food Process Eng, 2024, 47 (3): e14578 [2024 07 02]. https://doi.org/10.1111/jfpe.14578.
- [11] HU J, LIU Y, AN G, et al. Characteristics of molecular composition and its anti nutrition of β conglycinin during flavorzyme proteolysis [J/OL]. Food Biosci, 2021, 42: 101039 [2024 07 02]. https://doi.org/10.1016/j.fbio.2021.101039.
- [12] HU J, YUAN L, AN G, et al. Antigenic activity and epitope analysis of β conglycinin hydrolyzed by pepsin [J]. J Sci Food Agric, 2021, 101(4): 1396 1402.
- [13] DING J, QI L, ZHONG L, et al. Conformation activity mechanism of alcalase hydrolysis for reducing in vitro allergenicity of instant soy milk powder[J]. J Agric Food Chem, 2024, 72(18): 10627 – 10639.
- [14] LEE C, LEE W, HAN Y, et al. Effect of proteolysis with alkaline protease following high hydrostatic pressure treatment on IgE binding of buckwheat protein[J]. J Food Sci, 2017, 82(3): 834 839.
- [15] 江连洲, 寻崇荣, 綦玉曼, 等. 超高压 限制性酶解法 降低豆乳粉致敏性工艺优化[J]. 食品科学, 2018, 39 (24): 268 275.
- [16] MEINLSCHMIDT P, BRODE V, SEVENICH R, et al. High pressure processing assisted enzymatic hydrolysis: An innovative approach for the reduction of soy immunoreactivity [J]. Innov Food Sci Emerg Technol, 2017, 40: 58-67.
- [17] 彭开锋,周迎雪,李晓娟,等. 低温等离子体关键活性 粒子对大豆球蛋白结构及致敏性的影响[J]. 现代食

- 品科技, 2024, 40(3): 163-171.
- [18] FU W, CHEN C, LIU C, et al. Changes in wheat protein digestibility and allergenicity: Role of *Pediococcus acidilactici* XZ31 and yeast during dough fermentation [J]. Food Sci Hum Wellness, 2023, 12(6): 2381 2389.
- [19] XIONG Z, WANG W, MA X, et al. Development of a two step hydrolysis hypoallergenic cow's milk formula and evaluation of residue allergenicity by peptidomics and immunoreactivity analysis [J]. J Agric Food Chem, 2023, 71(32): 12237 12249.
- [20] YU S, KUAN Y C, CHANG C F, et al. The effect of papain hydrolysis on tropomyosin levels in shrimp [J/OL]. Heliyon, 2023, 9(12): e22410[2024-07-02]. https://doi.org/10.1016/j.heliyon.2023.e22410.
- [21] MEI L, FU Q, GUO T, et al. Structural changes and cholesterol lowering in denatured whey protein isolate:

 Malic acid combined enzymolysis [J/OL]. Food
 Hydrocolloid, 2022, 127: 107502 [2024 07 02].

 https://doi.org/10.1016/j.foodhyd.2022.107502.
- [22] WANG D, LIU Y, GUO M, et al. Effect of ball milling treatment combined with glycosylation on the structure and functional properties of *Litopenaeus vannamei* protein [J/OL]. Foods, 2024, 13 (9): 1284 [2024 07 02]. https://doi.org/10.3390/foods13091284.
- [23] YU J, MIKIASHVILI N, BONKU R, et al. Allergenicity, antioxidant activity and ACE inhibitory activity of protease hydrolyzed peanut flour [J/OL]. Food Chem, 2021, 360: 129992 [2024 07 02]. https://doi.org/10.1016/j.foodchem.2021.129992.
- [24] LI Y, DING J, DONG L, et al. Mechanism of targeted regulation of ovalbumin epitopes by pulsed electric field assisted alcalase treatment [J]. J Agric Food Chem, 2023, 71(27): 10417 10426.
- [25] XI J, LI Y. The effects of ultra high pressure

- treatments combined with heat treatments on the antigenicity and structure of soy glycinin [J]. Int J Food Sci Technol, 2021, 56(10): 5211 5219.
- [26] LIZ, ZHENG Y, SUN Q, et al. Structural characteristics and emulsifying properties of myofibrillar protein dextran conjugates induced by ultrasound Maillard reaction [J/OL]. Ultrason Sonochem, 2021, 72:105458 [2024 07 02]. https://doi.org/10.1016/j.ultsonch.2020.105458.
- [27] 李玉蝶, 李玟君, 汪海燕, 等. 戊糖乳杆菌发酵对花生 不同蛋白组分结构的影响 [J]. 食品科学, 2023, 44 (22): 74-79.
- [28] 巨倩. 大豆 7S 球蛋白亚基结构与功能特性研究[D]. 陕西 杨凌: 西北农林科技大学, 2023.
- [29] 齐宝坤, 王琪, 钟明明, 等. 高压均质辅助酶解豆乳对蛋白结构及抗营养因子的影响[J]. 农业机械学报, 2023, 54(2): 368-377.
- [30] 王晨, 马艳秋, 张梓湘, 等. 不同处理方法对蛋清蛋白 免疫原性及结构的影响 [J]. 食品科学, 2022, 43 (15): 93-100.
- [31] PANG L, LIU M, LI X, et al. Effect of enzymatic hydrolysis combined with processing on allergenicity of food allergens [J/OL]. Trends Food Sci Technol, 2024, 143: 104248 [2024 07 02]. https://doi.org/10.1016/j.tifs.2023.104248.
- [32] SHUE, WANG S, KONG X, et al. Effects of flavourzyme and alkaline protease treatment on structure and allergenicity of peanut allergen Ara h 1 [J]. Food Technol Biotechnol, 2024, 62(1): 4-14.
- [33] XING G, YANG S, HUANG L, et al. Effect of transglutaminase crosslinking combined with lactic fermentation on the potential allergenicity and conformational structure of soy protein[J]. J Sci Food Agric, 2024, 104 (13): 7977 7984.

(上接第67页)

- [18] 李静静. 离子液体催化法改性植物甾烷醇的研究[D]. 江苏 无锡: 江南大学, 2014.
- [19] 周阳. 植物甾烷醇油溶性及水溶性的改性研究[D]. 江苏 无锡: 江南大学, 2014.
- [20] 陈清平, 沈俊毅. 加工食品中反式脂肪酸研究进展 [J]. 现代食品, 2023, 29(17): 13-20.
- [21] 于殿宇, 唐洪琳, 周琪, 等. 酸碱对大豆油脂中反式脂肪酸的影响[J]. 中国食品学报, 2020, 20(3): 74-80.
- [22] HE B, DENG T, LI J, et al. An innovative auto catalytic esterification for the production of phytosterol

- esters: Experiment and kinetics [J]. RSC Adv, 2014, 4 (109): 64319 64327.
- [23] 曾佳,张怀宝,张建会,等. 深共熔溶剂催化油酸豆甾醇酯合成工艺的优化[J]. 食品科技,2019,44(10):276-282.
- [24] 马媛, 贾承胜, 张晓鸣, 等. 无溶剂直接酯化法合成亚油酸甾烷醇酯的研究[J]. 食品工业科技, 2012, 33 (6): 285-289.
- [25] 郭涛,姜元荣,王勇,等. 植物甾醇酯制备方法的研究 [J]. 中国油脂,2011,36(1):53-56.
- [26] 陈茂彬. 植物甾醇酯的制备、生物活性及应用研究 [D]. 武汉: 华中农业大学, 2005.